

## پیش‌بینی نمودارهای حد شکل‌دهی و حد تنش شکل‌دهی برای آلیاژ آلمینیم ۳۱۰۵ با استفاده از روش اجزای

### محدود و معیارهای شکست نرم\*

مهدی صفری<sup>(۱)</sup> سید جمال حسینی پور<sup>(۲)</sup> حامد دیلمی عضدی<sup>(۳)</sup> عبدالحمید گرجی<sup>(۴)</sup>

#### چکیده

نمودارهای حد شکل‌دهی (FLD) ابزار بسیار مفیدی برای پیش‌بینی شکل‌پذیری ورق‌های فلزی هستند. با این وجود، استفاده از این نمودارها تنها زمانی سودمند است که بارگذاری مناسب باشد، یعنی نسبت بین تنش‌های اصلی در فرایند شکل‌دهی ثابت باقی بماند. بنابراین، نمودارهای حد تنش شکل‌دهی (FLSD) که به مسیر کرنش وابسته نیستند، به کار رفته‌اند. در این تحقیق، ابتدا نمودار حد شکل‌دهی برای آلیاژ آلمینیم ۳۱۰۵ به روش تجربی و با استفاده از آزمون کشش خارج از صفحه‌ی ناکازیما بدست آمد. سپس با استفاده از نظریه‌ی رفتار موسمان، نمودار حد تنش شکل‌دهی محاسبه شد. افزون بر این، به کمک معیار شکست نرم و شبیه‌سازی به روش اجزای محدود با استفاده از نرم‌افزار ABAQUS نمودارهای حد شکل‌دهی و حد تنش شکل‌دهی برای آلیاژ آلمینیم ۳۱۰۵ پیش‌بینی شدند. نتایج حاصل نشان دادند که نمودارهای حاصل از اعمال معیارهای شکست نرم تطابق نسبتاً خوبی با نتایج تجربی داشته و می‌توان از آن‌ها برای پیش‌بینی قابل قبول نمودارهای حد شکل‌دهی آلیاژهای آلمینیم استفاده کرد.

**واژه‌های کلیدی** نمودار حد شکل‌دهی، نمودار حد تنش شکل‌دهی، معیار شکست نرم.

## Prediction of Forming Limit Diagrams (FLD) and Forming Limit Stress Diagrams (FLSD) for Aluminum Alloy 3105 with Finite Element Method using Ductile Fracture Criteria

M. Safari

S. J. Hosseinpour

H. D .Azodi

A. Gorji

#### Abstract

Forming limit diagrams (FLDs) are very powerful tool for prediction of the formability of sheet metals. However, it has been shown that FLD diagrams are valid only for proportional loadings during which the ratio between the principal stresses remains constant throughout the forming process. Therefore, forming limit stress diagrams (FLSDs), which are independent of the straining path, have been developed. In this work, the forming limit diagram for aluminum alloy 3105 was first obtained experimentally using the Nakazima out-of-plane test. The forming limit stress diagram was then calculated by the application of plasticity theory. In addition, the FLDs and FLSDs for AA3105 were simulated using ABAQUS finite element software through the application of a ductile fracture criterion. The results showed that the diagrams obtained by the application of the ductile fracture criterion are relatively in good agreements with the experimental results, and hence, can be successfully used for the prediction of forming limit diagrams of the aluminum alloys.

**Key Words** Forming limit diagram, Forming limit stress diagram, Ductile fracture criterion.

\* نسخه نخست مقاله در تاریخ ۸۸/۷/۲۱ و نسخه پایانی آن در تاریخ ۸۹/۵/۹ به دفتر نشریه رسیده است.

(۱) عضو هیئت علمی دانشگاه آزاد اسلامی، واحد الیگودرز

(۲) عهده‌دار مکاتبات: استادیار، گروه ساخت و تولید، دانشکده مهندسی مکانیک، دانشگاه صنعتی بابل

(۳) استادیار، گروه ساخت و تولید، دانشکده فنی مهندسی ارک، دانشگاه علم و صنعت ایران

(۴) دانشجوی دکتری، دانشکده مهندسی مکانیک، دانشگاه صنعتی بابل

ورق‌هایی با عرض‌های مختلف بر روی یک سنبه‌ی نیم‌کروی، دو طرف نمودار حد شکل دهی را به‌دست آورد [4]. نمودار حد شکل دهی معمولاً با یکی از روش‌های زیر تعیین می‌شود:

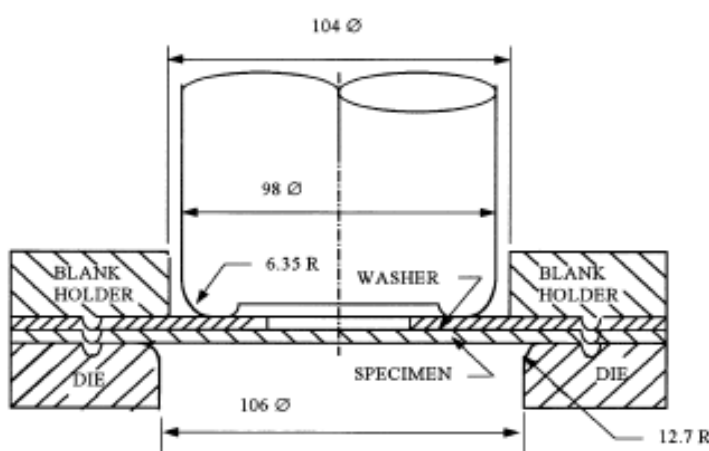
**روش اول – آزمون کشش در صفحه‌ی مارسینیاک.** در این روش، ورق فلزی با یک سنبه‌ی استوانه‌ای کشیده شده و از یک جدا کننده بین ورق و سنبه که در مرکز آن یک سوراخ وجود دارد، استفاده می‌شود. استفاده از این ترکیب باعث تغییر شکل بدون اصطکاک ورق می‌شود. شمای کلی این روش در شکل (۱) نشان داده شده است.

**روش دوم – آزمون خارج از صفحه‌ی ناکازیما.** در این روش، از یک سنبه با سر کروی استفاده می‌شود. با توجه به وجود اصطکاک در این آزمون، روان‌کار مناسب به کار می‌رود. در این آزمون، مسیرهای لازم برای کرنش را می‌توان به کمک روان‌کارهای مختلف و یا با استفاده از نمونه‌هایی با عرض متفاوت ایجاد کرد. شمای کلی آزمون ناکازیما در شکل (۲) نمایش داده شده است.

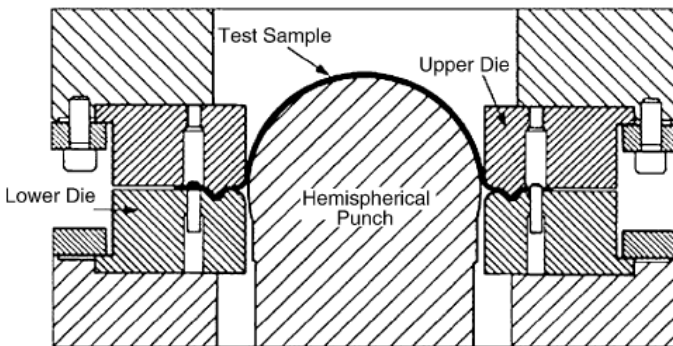
در این تحقیق، از آزمون ناکازیما استفاده شده است.

## مقدمه

شکل‌پذیری ورق را می‌توان قابلیت آن برای تغییر شکل بدون پارگی و گلویی شدن، تعریف کرد [1]. ورق‌ها را می‌توان تنها تا حد معینی تغییر شکل داد، و این حد با آغاز گلویی شدن موضعی که نهایتاً منجر به پارگی آن می‌شود، مشخص می‌شود. رسم نمودار حد شکل دهی (FLD)، یکی از روش‌های مرسوم برای تعیین این محدوده است. این نمودار، تغییرات کرنش اصلی بزرگ‌تر ( $\epsilon_1$ ) در لحظه‌ی گلویی شدن را برابر حسب کرنش اصلی کوچک‌تر ( $\epsilon_2$ ) نشان می‌دهد. نمودارهای حد شکل دهی برای اولین بار توسط کیلر و بکافن در سال ۱۹۶۳ رسم شدند. آن‌ها سمت راست نمودار حد شکل دهی را با اتساع ورق‌های فولادی کم کرbin به‌دست آورده‌اند [2]. سپس گودوین در سال ۱۹۶۸، سمت چپ نمودار را نیز به‌دست آورد [3]. او ترکیبی از دو فرایند کشش ساده‌ی تکمحوری (کشش یک نمونه‌ی ساده‌ی مستطیلی از دو انتهای) و کشش عمیق (کشیدن لوح به درون قالب با یک سنبه‌ی استوانه‌ای) را با استفاده از ورق‌های فولادی کم کرbin به‌کار گرفت و با افزودن آزمایش‌های خود به شکل دهی را به‌دست آورد. هکر در سال ۱۹۷۵ با اتساع



شکل ۱ شمای کلی از آزمون کشش در صفحه‌ی مارسینیاک [16]



شکل ۲ شماتیکی از آزمون خارج از صفحه ناکازیما [4]

پیشنهاد کرده و نشان دادند که نمودارهای تنش مبنای مستقل از مسیر کرنش هستند. آریکس و همکاران نیز استفاده از معیار تنش مبنای برای فرایندهای ثانویه‌ی شکل‌دهی مانند کشش مجدد (Redrawing) پیشنهاد کردند [6]. با وجود اهمیت کشف نمودارهای حد تنش شکل‌دهی، توجه زیادی به آن‌ها در دهه‌های ۸۰ و ۹۰ میلادی نشد. استافتون مجددًا نمودارهای حد تنش شکل‌دهی را بررسی کرده و عنوان کرده است که استفاده از معیار تنش مبنای برای کلیه فرایندها ضروری است [7]. تحلیل المان محدود (FEA) از سال ۱۹۷۰ برای تهیه اطلاعات لازم از یک فرایند واقعی شکل‌دهی در صنعت، کاربرد گسترده‌ای یافته است. معمولاً با این روش تحلیل اطلاعاتی مانند شکل تغییر یافته، توزیع تنش و کرنش، نیروی سنبه و پارگی به دست می‌آیند. افزون بر این، استفاده از معیارهای شکست نرم در سال‌های اخیر برای پیش‌بینی نمودارهای حد شکل‌دهی و حد تنش شکل‌دهی رواج زیادی یافته‌اند. در سال ۱۹۹۹، تاکودا و همکارانش با استفاده از معیارهای شکست نرم مانند کاکرافت، بروز، اویان و کلیفت، و روش المان محدود، نمودار حد شکل‌دهی را برای چند نوع فولاد و آلیاژ آلومینیم پیش‌بینی کردند [8]. آن‌ها نتایج به دست آمده را با نتایج تجربی مقایسه کرده و نشان دادند که نمودار حد

اگرچه رسم نمودارهای حد شکل‌دهی روش مناسبی برای تحلیل شکل‌پذیری مواد فلزی است، اما تنها زمانی می‌توان از آن استفاده کرد که بارگذاری متناسب باشد، یعنی وقتی که نسبت بین کرنش‌های اصلی در طول فرایند شکل‌دهی ثابت بماند. از آنجا که نمودارهای حد شکل‌دهی شدیداً به مسیر کرنش وابسته است، اهمیت این محدودیت بیشتر می‌شود. با تغییر مسیر کرنش در یک فرایند شکل‌دهی، شکل نمودارهای حد شکل‌دهی و در نتیجه، نحوه‌ی تصمیم‌گیری طراح در مورد آن نیز تغییر می‌کند. برای رفع این مشکل، نمودارهای حد تنش شکل‌دهی (FLSD) که مستقل از مسیر کرنش هستند، مورد توجه قرار گرفته‌اند. نمودارهای حد تنش شکل‌دهی نشان‌دهنده‌ی ارتباط بین تنش‌های اصلی بزرگ‌تر ( $\sigma_1$ ) و کوچک‌تر ( $\sigma_2$ ) در ورق هستند، در حالی که نمودارهای حد کرنش شکل‌دهی نشان‌دهنده‌ی ارتباط بین کرنش‌های اصلی بزرگ‌تر ( $\epsilon_1$ ) و کوچک‌تر ( $\epsilon_2$ ) در ورق می‌باشند. عدم حساسیت نمودارهای حد تنش شکل‌دهی به مسیر کرنش، مزیت اصلی آن‌هاست. کلیمولا و پلیکیکانگس، محدودیت‌های نمودار حد شکل‌دهی برای تحلیل فرایند لبه‌زنی مس، برنج و فولادها را نشان داده‌اند [5]. آن‌ها نمودار حد تنش شکل‌دهی را به عنوان جایگزین مناسب برای آن

(قوطی و ...). آلیاژهای آلومینیم دسته‌ی ۳۰۰۰، کاربرد زیادی در صنعت (از جمله در ساخت لوازم خانگی) دارند، به‌طوری‌که نوع ۳۱۰۵ از جایگاه ویژه‌ای برخوردار است.

در این پژوهش، ابتدا نمودار حد شکل دهی برای آلیاژ آلومینیم نوع ۳۱۰۵ با استفاده از آزمون کشش خارج از صفحه‌ی ناکازیما به‌دست می‌آید. در ادامه، نمودار حد تنش شکل دهی با استفاده از رابطه‌های رفتار مومسان که توسط استافتون پیشنهاد شده‌اند [7]، به‌دست خواهد آمد. افزون بر این، نمودارهای حد کرنش و حد تنش شکل دهی با استفاده از معیارهای شکست نرم و به‌کمک نرم افزار ABAQUS پیش‌بینی می‌شوند.

### معیارهای شکست نرم

در این پژوهش و در آزمایش‌های تعیین نمودارهای حد شکل دهی، از معیارهای شکست نرم ورق استفاده شده است. معیارهای زیادی برای پدیده‌ی شکست نرم بر مبنای مشاهدات تجربی وجود دارند. حد شکل دهی ورق‌های فلزی به‌شدت به فرایندهای قبلی انجام شده بر روی آن‌ها بستگی دارد. بنابراین، تنش‌ها و کرنش‌های قبلی را باید در محاسبات در نظر گرفت [8]. کاکرافت و لاتمن [12]، بروز و همکارانش [13] و کلیفت و همکارانش [14]، معیارهایی را پیشنهاد داده‌اند که در آن‌ها پیشینه‌ی تنش و کرنش بر وقوع پدیده‌ی شکست نرم تأثیر دارد. کاکرافت و لاتمن معیار شکست را بر مبنای شکل‌پذیری حقیقی ارائه کرده‌اند که مطابق آن، شکست مواد موقعي رخ می‌دهد که وضعیت زیر وجود داشته باشد [12]:

$$\int_0^{\bar{\epsilon}_f} \sigma_{\max} d\bar{\epsilon} = C_1 \quad (1)$$

در این رابطه،  $\sigma_{\max}$  بیشترین تنش عمودی،  $\bar{\epsilon}_f$  کرنش معادل که در آن پارگی رخ می‌دهد، و  $C_1$  ثابت مربوط به جنس ماده می‌باشد. بروز و همکارانش،

شکل دهی را می‌توان با استفاده از معیارهای شکست نرم به‌خوبی پیش‌بینی کرد. جین و همکارانش در سال ۱۹۹۹، نمودار حد شکل دهی در مرحله‌ی گلووی (FLCN) و نمودار حد شکل دهی در مرحله‌ی شکست (FLCF) را برای آلیاژ آلومینیم ۶۱۱۱ به‌دست آوردند [9]. آن‌ها نشان دادند که نمودار حد شکل دهی در مرحله‌ی شکست برای آلیاژ آلومینیم ۶۱۱۱ دارای شکل پیچیده‌ای بوده و در ناحیه‌ی کشش دوممحوری، به نمودار حد شکل دهی در مرحله‌ی گلووی تبدیل می‌شود. تاکودا و همکارانش در سال ۲۰۰۰، نمودار حد شکل دهی در مرحله‌ی گلووی و شکست را برای آلیاژ آلومینیم ۱۱۰۰ به‌دست آوردند [10]. نمودار حد شکل دهی در مرحله‌ی شکست که توسط آن‌ها به‌دست آمد، خطی بود. افزون بر این، آن‌ها توانستند نمودار حد شکل دهی در مرحله‌ی شکست برای آلومینیم ۱۱۰۰ را با استفاده از معیار شکست نرم به‌شکل تقریباً خطی پیش‌بینی کنند. هونگ نام‌هان و همکارانش در سال ۲۰۰۳، نمودارهای حد شکل دهی در مراحل گلووی و شکست را با استفاده از آزمون ناکازیما برای ورق‌های فولادی با شکل‌پذیری مختلف به‌دست آوردند [11]. آزترک و همکارش نیز در سال ۲۰۰۵ نمودار حد شکل دهی را به صورت تجربی و عددی برای فولاد آرام شده با آلومینیم با استفاده از آزمون کشش خارج از صفحه به‌دست آورده و آن‌ها را با یکدیگر مقایسه کردند [1]. نتایج حاصل از شبیه‌سازی آن‌ها تطابق خوبی با نتایج تجربی داشت. افزون بر این، آن‌ها اثر اندازه‌ی شبکه‌بندی و شرایط اصطکاکی بر نمودار حد شکل دهی را با استفاده از شبیه‌سازی به‌روش المان محدود بررسی کردند.

در سال‌های اخیر، آلومینیم و آلیاژهای آن کاربرد زیادی در صنعت داشته‌اند، به‌گونه‌ای که صنعت خودروسازی یکی از کاربردهای مهم آن‌ها به حساب می‌آید. کاربردهای دیگر آن‌ها عبارتند از: صنایع حمل و نقل (هوایی، دریایی، ریلی، و ...) و صنایع بسته‌بندی

کرنش در آزمون کشش تکمحوری، مقادیر استخراج شده در معیار شکست نرم قرار گرفت و ثابت معیار برابر با مقدار انتگرال در نظر گرفته شد. مقادیر این ثابت‌ها برای معیارهای کلیفت، کاکرافت و بروز و بهترین برابر با  $23/58$ ،  $28/30$  و  $0/10$  به دست آمد.

برای تعیین ضریب ناهمسان‌گردی نیز از آزمون کشش تکمحوری استفاده شد. اگرچه نسبت کرنش در جهت پهنا به ضخامت به عنوان ضریب ناهمسان‌گردی تعریف می‌شود، کرنش در جهت ضخامت را نمی‌توان در ورق نازک به دقت اندازه‌گیری کرد. بنابراین، کرنش در جهت ضخامت را معمولاً با اندازه‌گیری کرنش‌های طولی و عرضی و با استفاده از اصل حجم ثابت در تغییر شکل مومسان ( $(\varepsilon_t + \varepsilon_w) = -(\varepsilon_l + \varepsilon_e)$ ) به دست می‌آورند. برای تعیین ضریب ناهمسان‌گردی، نمونه‌هایی هم‌راستا با جهت نورد ( $R_0$ )، در جهت  $45^\circ$  نسبت به راستای نورد ( $R_{45}$ )، و در جهت عمود بر راستای نورد ( $R_{90}$ ) تهیه شده و آزمون کشش تکمحوری در مورد آنها انجام گرفت. به این ترتیب، کرنش‌های طولی و عرضی در این نمونه‌ها اندازه‌گیری شدند. ضریب ناهمسان‌گردی با استفاده از رابطه‌ی زیر به دست آمد:

$$R = \frac{\varepsilon_w}{\varepsilon_t} = -\frac{\varepsilon_w}{\varepsilon_l + \varepsilon_w} \quad (4)$$

میزان‌های محاسبه شده‌ی  $R$  برای آلیاژ آلومینیم  $3105$  در جدول (۲) ارائه شده‌اند.

نمونه‌های مورد نیاز برای انجام آزمون کشش خارج از صفحه، با فرایند ماشین‌کاری به دو شکل مستطیل کامل و مستطیلی با دو انتهای ماشین‌کاری شده ساخته شدند. شکل و ابعاد این نمونه‌ها در شکل (۳) و جدول‌های (۳) و (۴) آورده شده‌اند. نمونه‌ها قبل از فرایند شکل‌دهی و برای اندازه‌گیری کرنش در آن‌ها پس از تغییر شکل، شبکه‌بندی شدند. برای این‌کار، از یک مهر ژلاتینی که الگوی شبکه‌بندی مورد نظر به صورت برجسته بر روی آن ایجاد شده بود، استفاده

معیار کاکرافت و لاتمن را برای افزودن تنش‌های هیدروستاتیک به آن، به‌شکل زیر تغییر دادند [۱۳]:

$$\int_0^{\bar{\varepsilon}_f} \frac{2\sigma_{\max}}{3(\sigma_{\max} - \sigma_h)} d\bar{\varepsilon} = C_2 \quad (2)$$

در این رابطه نیز  $\sigma_h$  تنش هیدروستاتیک و  $C_2$  ثابت دیگری مربوط به جنس ماده هستند. کلیفت و همکاران نیز رابطه‌ی زیر را بر اساس معیار انرژی یا کار موم‌سان ارائه کرده‌اند [۱۴]:

$$\int_0^{\bar{\varepsilon}_f} \bar{\sigma} d\bar{\varepsilon} = C_3 \quad (3)$$

که در آن،  $\bar{\sigma}$  تنش معادل و  $C_3$  ثابت سوم مربوط به جنس ماده می‌باشد.

برای تعیین ثابت‌های معیار شکست نرم، از آزمون‌های مختلف استفاده می‌شود. اگر معیار شکست نرم دارای یک ثابت باشد، آزمایش کشش تکمحوری انجام می‌شود. در صورت وجود ثابت‌های بیشتر در معیار، از آزمایش کرنش صفحه‌ای و یا آزمایش بالج استفاده می‌شود.

## مواد و روش تحقیق

برای انجام آزمایش، نمونه‌ای تخت از آلیاژ آلومینیم  $3105$  با ضخامت  $1/2$  میلی‌متر انتخاب شد. ترکیب شیمیایی این آلیاژ در جدول (۱) آورده شده است. برای تعیین خواص مکانیکی نمونه، از آزمون کشش تکمحوری مطابق با استاندارد (ASTM B557M (2006)) با استفاده از نمونه‌هایی با طول سنجه‌ی  $50$  میلی‌متر و پهنای  $12/5$  میلی‌متر استفاده شد.

با توجه به استفاده از معیارهای کلیفت، کاکرافت و بروز و در این پژوهش که همگی دارای تنها یک ثابت هستند، برای تعیین ثابت مورد نظر در آن‌ها از آزمایش کشش تکمحوری استفاده شد. میزان تنش و کرنش در نقطه‌ی شکست از روی نمودار تنش-کرنش ماده استخراج شد. با توجه به حالت تنش و

شد و به کمک رنگ‌های خاصی که بر روی این مهر ایجاد شد.  
پوشش داده شده بود، الگوی مورد نظر بر روی نمونه‌ها

جدول ۱ ترکیب شیمیابی آلیاژ آلومینیم ۳۱۰۵

Material	Al	Ga	V	Cr	Ti	Zn	Mg	Mn	Cu	Fe	Si
AA3105 (wt.%)	96.95	1	1	2	1	33	61	67	23	81	27

جدول ۲ مقادیر R برای آلیاژ آلومینیم ۳۱۰۵ در جهت‌های مختلف

آلیاژ	R <sub>0</sub>	R <sub>45</sub>	R <sub>90</sub>	$\bar{R}$
۳۱۰۵ آلومینیم	0.20	0.30	0.24	0.26

$$\bar{R} = \frac{1}{4}(R_0 + 2R_{45} + R_{90})$$

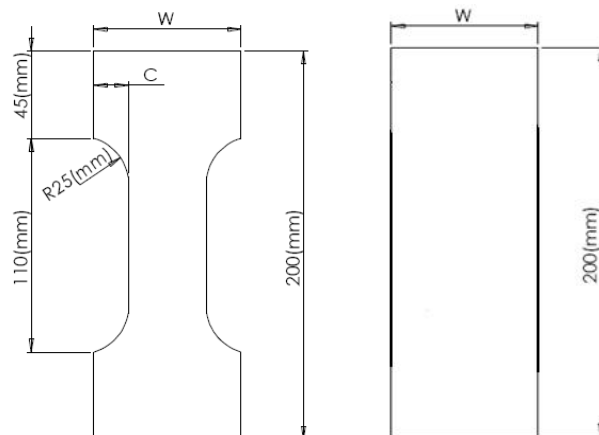
جدول ۳ ابعاد نمونه‌های ساده‌ی مورد استفاده در آزمون کشش خارج از صفحه

شماره نمونه	۱	۲	۳	۴
W(mm)	۱۲۵	۱۵۰	۱۷۵	۲۰۰

جدول ۴ ابعاد نمونه‌های ماشینکاری شده‌ی مورد استفاده

در تست کشش خارج از صفحه

شماره نمونه	۱	۲	۳	۴
W (mm)	۷۵	۱۰۰	۱۲۵	۱۵۰
C (mm)	۱۷/۵	۲۵	۲۵	۲۵



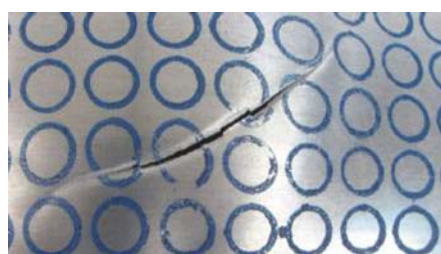
الف

ب

شکل ۳ ابعاد نمونه‌های مورد استفاده در آزمون کشش خارج از صفحه؛ (الف): نمونه‌های ساده، (ب): نمونه‌های ماشینکاری شده

منطقه‌ی تغییر شکل یافته‌ی آن‌ها تشخیص داده شد. شکل (۴) گلویی شدن موضعی را نشان می‌دهد. در شکل (۵) نیز نمونه‌های تغییر شکل یافته از جنس آلیاژ آلومینیم ۳۱۰۵ مشاهده می‌شود. از نوار مایلر برای اندازه‌گیری کرنش‌ها استفاده شد. نوار مایلر، نوار شفاف درجه‌بندی شده‌ای است که برای اندازه‌گیری مستقیم کرنش به صورت درصد به کار می‌رود. برای این کار، نوار به گونه‌ای بر روی بیضی قرار داده می‌شود که خطوط مشبّک آن با قطر مورد نظر هم راستا شوند. سپس نوار مایلر بر روی بیضی آن‌قدر جابجا می‌شود که یکی از خطوط آن با قطر مورد نظر برابر شود. در این لحظه، اندازه‌ی مندرج بر روی خط فوق درصد کرنش مربوط به قطر بیضی را نشان می‌دهد. مقادیر به دست آمده کرنش‌های حدی در لحظه‌ی آغاز گلویی شدن را نشان می‌دهند.

برای آزمون کشش، از یک پرس هیدرولیک ۶۰ تن با محدوده‌ی جابجایی ۲۵۰ میلی‌متر استفاده شد که سرعت صفحه‌ی بالای آن بین ۰/۱ تا ۲۰۰ میلی‌متر بر دقیقه تغییر می‌کرد. ابتدا ورق درون قالب قرار گرفت و اطراف آن برای جلوگیری از لغزش با استفاده از ورق گیر کاملاً محکم شد. سپس نمونه‌ی ورق به کمک سنبه‌ای به قطر ۱۰۰ میلی‌متر تا مرحله‌ی پارگی کشیده شد. در حین انجام آزمون، شبکه‌های دایره‌ای شکل به دلیل اعمال کرنش‌های ناشی از کشش به آن‌ها به بیضی تبدیل شدند. با اندازه‌گیری قطرهای بزرگ و کوچک بیضی‌ها در بخش‌هایی از شبکه نزدیک به محل پارگی، کرنش‌های حدی برای هر یک از نمونه‌ها محاسبه شدند. کرنش حدی به بیشترین کرنشی گفته می‌شود که ورق می‌تواند بدون پارگی تحمل کند. گلویی شدن موضعی ورق‌ها با مشاهده‌ی شیارهایی در



شکل ۴ محل پارگی نمونه‌ی کشیده شده



شکل ۵ نمونه‌های تغییر شکل یافته از جنس آلیاژ آلومینیم ۳۱۰۵

مرحله‌ی پنجم: تابع  $(\alpha)^{\frac{1}{M}}$  محاسبه می‌شود. تابعی است که با توجه به رابطه‌ی  $\sigma_1 = \bar{\sigma}^{\frac{1}{M}}$  بسته به نوع معیار تسلیم به کار رفته تعیین می‌شود [۷]. در این پژوهش، از معیار تسلیم هاسفورد استفاده شد و به این ترتیب، تابع  $(\alpha)^{\frac{1}{M}}$  از رابطه‌ی زیر به دست آمد:

$$\xi = \left( \frac{1}{(1+R)} (1 + |\alpha|^M + r|1-\alpha|^M) \right)^{\frac{1}{M}} \quad (9)$$

مرحله‌ی ششم: برای ماده‌ای با همسان‌گردی صفحه‌ای و بدون اعمال تنش‌های برشی، تنش‌های حدی در مرحله‌ی اول مسیر کرنش به‌شکل زیر محاسبه می‌شوند [15]

$$\sigma_1 = \frac{\bar{\sigma}_Y}{\xi(\alpha)} \quad (10)$$

بیشترین تنش حدی تنشی است که ورق می‌تواند بدون پارگی تحمل کند. تنش‌های حدی در مرحله‌ی دوم از مسیر کرنش به صورت زیر محاسبه می‌شوند [15] :

$$\sigma_1 = \frac{\bar{\sigma}_Y (\bar{\varepsilon}(\varepsilon_{1i}, \varepsilon_{2i}) + \bar{\varepsilon}(\varepsilon_{1f} - \varepsilon_{1i}, \varepsilon_{2f} - \varepsilon_{2i}))}{\xi(\alpha(\varepsilon_{2f} - \varepsilon_{2i}) / (\varepsilon_{1f} - \varepsilon_{1i}))} \quad (12)$$

$$\sigma_2 = \alpha \sigma_1 \quad (13)$$

در رابطه‌ی (12)،  $\varepsilon_{1i}$  و  $\varepsilon_{2i}$  مقادیر پیش کرنش از مرحله‌ی قبل، و  $\varepsilon_{1f}$  و  $\varepsilon_{2f}$  مقادیر نهایی کرنش هستند. در این تحقیق، مقادیر  $\varepsilon_{1i}$  و  $\varepsilon_{2i}$  با توجه به عدم اعمال پیش کرنش به ورق‌ها صفر در نظر گرفته شده‌اند.

### محاسبه‌ی نمودار حد تنش شکل دهی

برای محاسبه‌ی نمودار حد تنش شکل دهی، ابتدا کرنش‌های حاصل از آزمون‌های تجربی محاسبه و سپس به تنش‌های مربوطه تبدیل می‌شوند. تبدیل این کرنش‌ها در چند مرحله به شرح زیر رخ می‌دهد:

**مرحله‌ی اول:** کرنش‌های حدی از آزمون‌های تجربی به دست می‌آیند.

**مرحله‌ی دوم:** کرنش مؤثر با استفاده از کرنش‌های حدی مطابق رابطه‌ی زیر به دست می‌آید:

$$\bar{\varepsilon} = \sqrt{\frac{4}{3}(1+\rho+\rho^2)\varepsilon_1} \quad (5)$$

**مرحله‌ی سوم:** تنش مؤثر با استفاده از رابطه‌ی تنش - کرنش توانی به صورت زیر تعیین می‌شود:

$$\bar{\sigma} = K \bar{\varepsilon}^n \quad (6)$$

**مرحله‌ی چهارم:** نسبت کرنش از رابطه‌ی زیر به دست می‌آید:

$$\rho = \frac{\varepsilon_2}{\varepsilon_1} \quad (7)$$

نسبت تنش با استفاده از رابطه‌ی (8) که ارتباط بین  $\rho$  و  $\alpha$  برای معیار تسلیم هاسفورد را نشان می‌دهد، تعیین می‌شود:

$$\rho = \frac{\alpha^{M-1} - R(1-\alpha)^{M-1}}{1 + R(1-\alpha)^{M-1}} \quad (8)$$

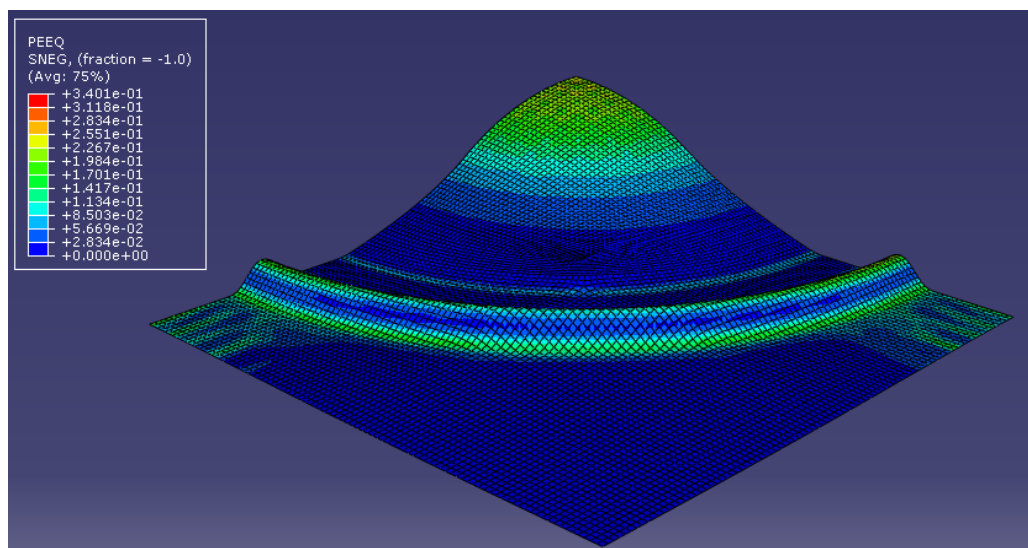
در این رابطه،  $M$  ضریب وابسته به نوع ماده است که به آن توان معیار تسلیم هیل می‌گویند. مقدار  $M$  برای آلیاژهای آلومینیم تقریباً برابر با  $1/8$  می‌باشد [17].  $R$  نیز ضریب ناهم‌سان‌گردی ماده است.

گرفته شد. در شکل (۶)، نمونه‌ی به کار رفته در شبیه‌سازی، با ابعاد  $200 \times 200$  میلی‌متر، مشاهده می‌شود.

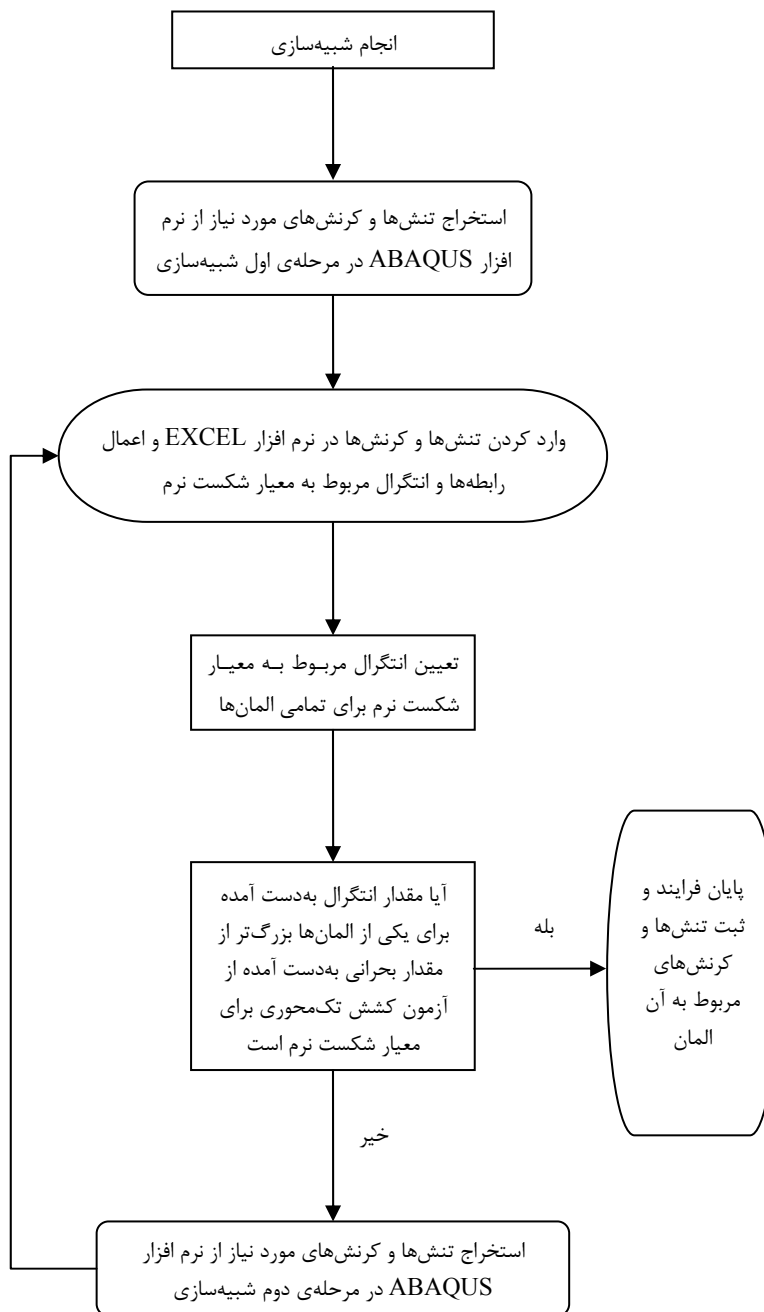
**تعیین نمودارهای FLD و FLSD با شبیه‌سازی** نتایج در مراحل مختلف شبیه‌سازی تحلیل شدن و برای این‌کار، از معیار شکست نرم استفاده شد. چگونگی استخراج داده‌های لازم برای رسم نمودارهای حد کرنش و حد تنش شکل‌دهی با استفاده از معیار شکست نرم، در شکل (۷) نشان داده شده است. اگر مقدار عددی به دست آمده از معیار شکست نرم به حد بحرانی برسد (این حد به کمک آزمون کشش تعیین می‌شود)، گلویی شدن رخ می‌دهد. تنش‌ها و کرنش‌های مربوط به این لحظه، تنش‌ها و کرنش‌های حدی در نظر گرفته می‌شوند.

### تحلیل عددی

کلیه‌ی شرایط آزمون‌های انجام شده در شبیه‌سازی عددی اعمال شدند. ورق قطعه‌ی شکل پذیر و شکل آن پوسته‌ای در نظر گرفته شد. سنبه، قالب و ورق گیر صلب در نظر گرفته شدند. به دلیل تقارن هندسی و برای کوتاه شدن زمان تحلیل‌ها، یک چهارم از مجموعه‌ی قالب و ورق مدل شد. برای وارد کردن خواص ورق از جمله چگالی، مدول کشسان، ضریب پوسان، تنش و کرنش از نقطه‌ی تسليم تا بیشترین تنش کششی و ضریب‌های ناهمسان‌گردی در تحلیل، از داده‌های آزمون کشش تکمحوری بهره گرفته شد. برای به دست آوردن تابع تسليم، نظریه‌ی مومسانی ناهمسان‌گرد هیل به کار رفت. از مدل اصطکاک کولنی با ضریب اصطکاک  $\mu = 0.11$  استفاده شد، و مسئله با استفاده از روش حل صریح (Explicit) حل شد. رابطه‌ی تنش - کرنش به شکل توانی در نظر



شکل ۶ مدل شبیه‌سازی شده از نمونه‌ای به ابعاد  $200 \times 200$  میلی‌متر



شکل ۷ چگونگی تعیین نمودارهای حد شکل دهی و حد تنش شکل دهی با شبیه‌سازی

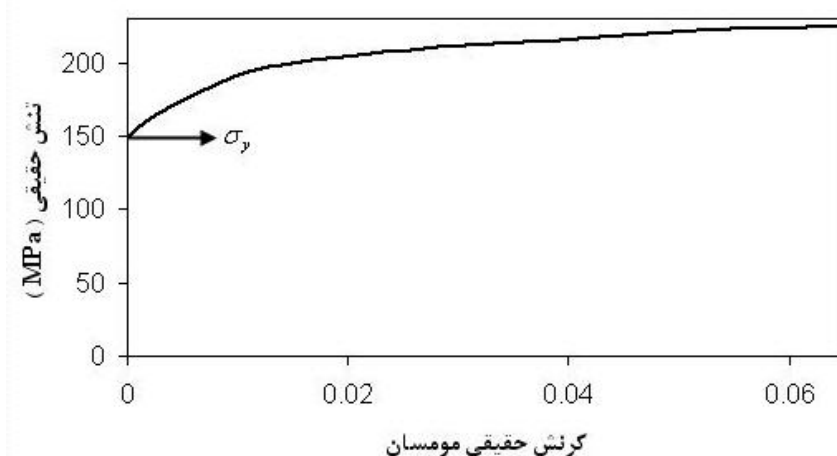
ضریب استحکام ( $K$ ) در رابطه‌ی  $\sigma = K\epsilon^n$ ، با رسم نمودار تغییرات  $\log \sigma$  بر حسب  $\log(\epsilon)$  محاسبه شدند. به این ترتیب، رابطه‌ی سیلان ماده به صورت  $\sigma = 302\epsilon^{0.103}$  (MPa) تعیین شد. شکل (۹)، نمودار

### نتایج و بحث

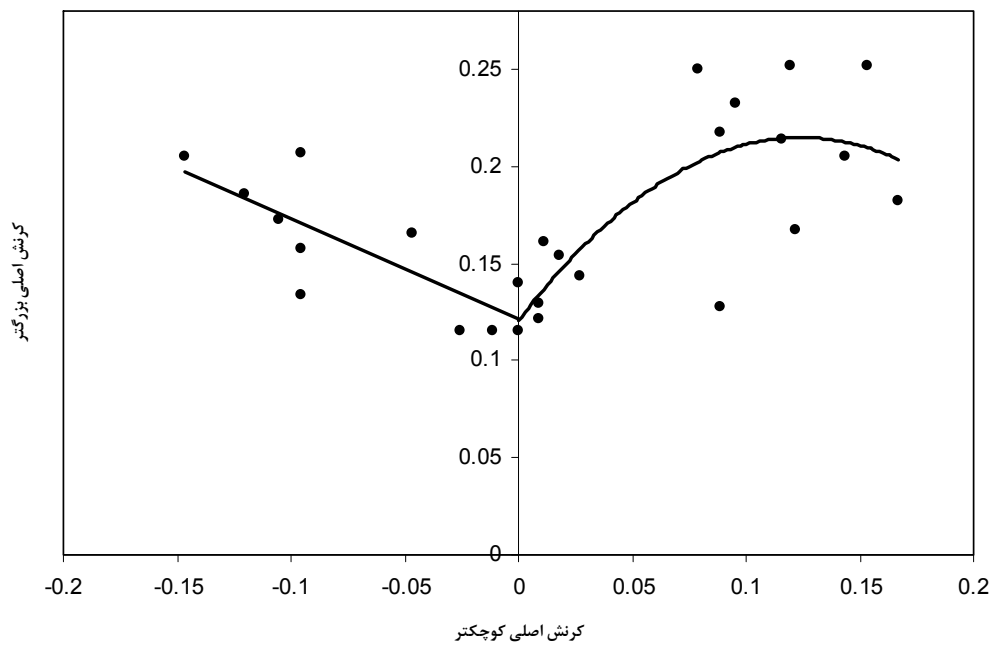
نمودار تنش-کرنش آلیاژ آلومنیم ۳۱۰۵ که از آزمون کشش تکمحوری به‌دست آمده است، در شکل (۸) نشان داده شده است. توان کار سختی ( $n$ ) و

(۱۱)، نمودارهای نیرو- جابجایی تجربی و شبیه‌سازی شده‌ی یکی از نمونه‌ها با یکدیگر مقایسه شده و صحت شبیه‌سازی تأیید شده است. نمودارهای FLD و FLSD به دست آمده از شبیه‌سازی با طی مراحل نشان داده شده در شکل (۷)، پس از اعمال معیارهای شکست نرم کلیفت، کاک رافت و برزو در شکل‌های (۱۲) و (۱۳) نشان داده شده و با نتایج تجربی مقایسه شده‌اند. همان‌گونه که مشاهده می‌شود، نمودارهای حد شکل‌دهی و حد تنفس شکل‌دهی پیش‌بینی شده با استفاده از معیارهای شکست نرم اندکی با نتایج تجربی اختلاف دارند. علت‌های بروز این اختلاف می‌تواند وجود خطاهایی در روند شبیه‌سازی و نیز، خطاهای موجود در رابطه‌های نظری مربوط به معیارهای شکست نرم، به دلیل ساده‌سازی‌های انجام شده در آن‌ها، باشد. با وجود این اختلاف‌ها، می‌توان گفت که معیارهای شکست نرم کار پیش‌بینی نمودارهای FLD و FLSD را با تقریب نسبتاً خوبی انجام می‌دهند.

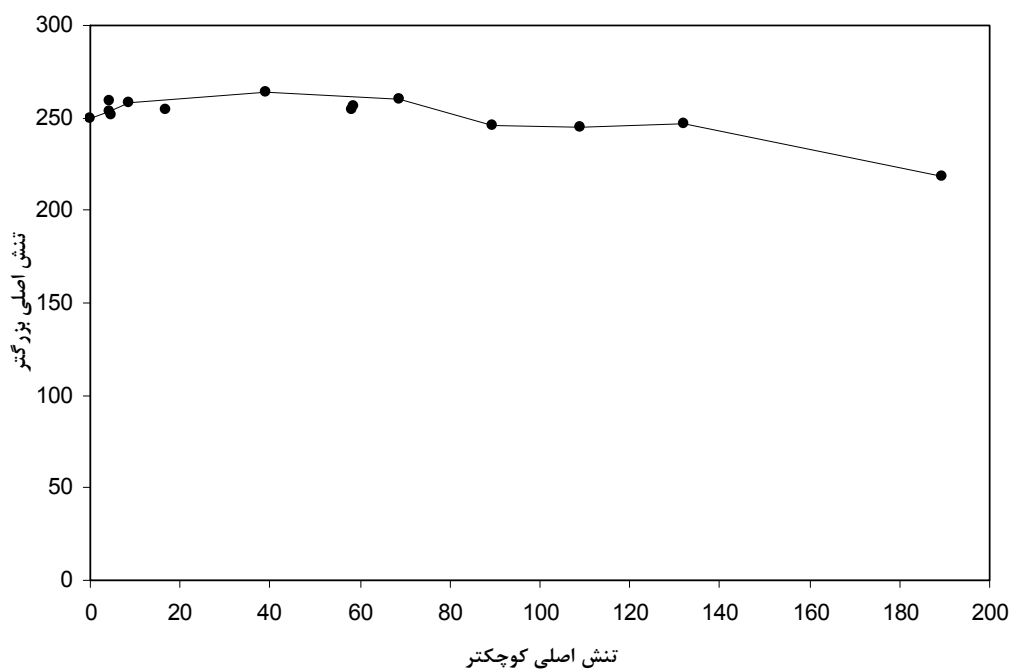
FLD حاصل از آزمون کشش خارج از صفحه را برای آلیاژ آلمینیم ۳۱۰۵ نشان می‌دهد. این نمودار با استفاده از کرنش‌های حدی با اعمال سرعت شکل‌دهی ۱۰ میلی‌متر بر دقیقه، به دست آمده است. در آزمون خارج از صفحه، گلویی شدن و شکست به عواملی از قبیل کرنش سختی، رفتار ناهمسان‌گردی ورق، شرایط اصطکاک و شبکه کرنش وابسته‌اند. در تغییر شکل خارج از صفحه، عوامل هندسی و اصطکاکی نقش تعیین کننده‌ای داشته و در واقع، باعث جابجایی محل گلویی شدن می‌شوند [۱۸]. افزون بر این، کرنش‌های حدی حاصل از آزمون‌های تجربی با استفاده از رابطه‌های (۵) تا (۱۳) به تنفس‌های حدی تبدیل شده و نمودار حد تنفس شکل‌دهی رسم شد. در شکل (۱۰)، نمودار حد تنفس شکل‌دهی حاصل از نتایج تجربی نشان داده شده است. برای تعیین صحت شبیه‌سازی انجام شده، نمودارهای نیرو- جابجایی مربوط به هر یک از نمونه‌ها که از بررسی‌های تجربی و شبیه‌سازی به دست آمده بودند، با یکدیگر مقایسه شدند. در شکل



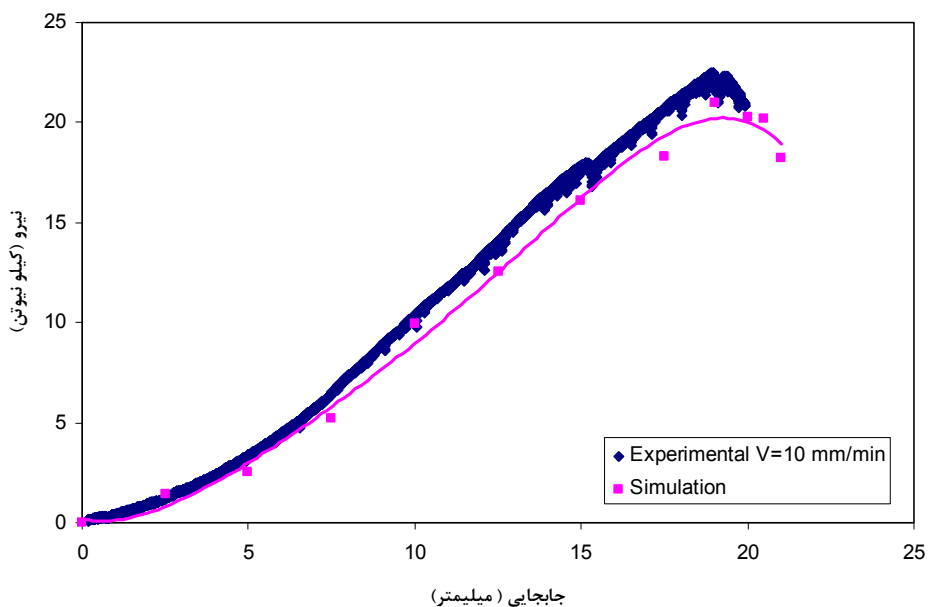
شکل ۸ نمودار تنفس- کرنش حقيقی برای آلیاژ آلمینیم ۳۱۰۵



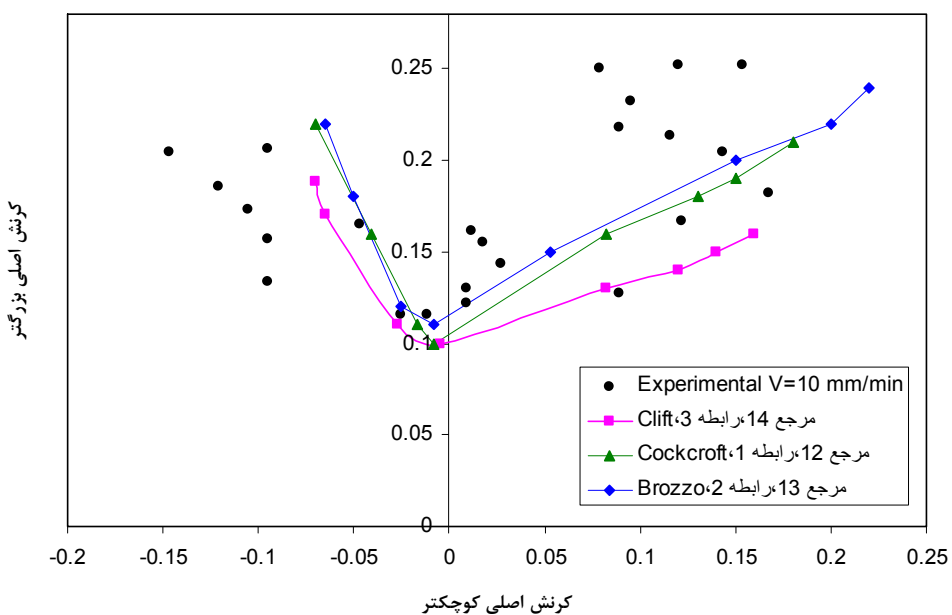
شکل ۹ نمودار حد شکل دهی (FLD) برای آلیاژ آلمینیم ۳۱۰۵ به دست آمده از بررسی های تجربی با سرعت شکل دهی ۱۰ میلی متر بر دقیقه



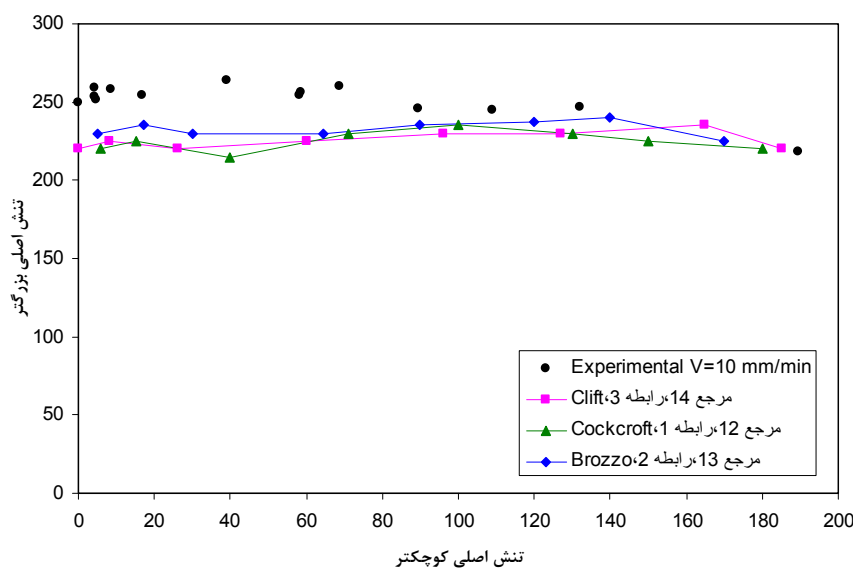
شکل ۱۰ نمودار حد تنش شکل دهی (FLSD) برای آلیاژ آلمینیم ۳۱۰۵ به دست آمده از بررسی های تجربی با سرعت شکل دهی ۱۰ میلی متر بر دقیقه



شکل ۱۱ مقایسه نمودارهای نیرو- جایجاپی تجربی و شبیه‌سازی شده  
با سرعت شکل دهنی ۱۰ میلی‌متر بر دقیقه



شکل ۱۲ مقایسه نمودارهای FLD حاصل از نتایج تجربی و شبیه‌سازی برای آلیاژ آلمینیم ۳۱۰۵



شکل ۱۳ مقایسه نمودارهای FLSD حاصل از نتایج تجربی و شبیه‌سازی برای آلیاژ آلومینیم ۳۱۰۵

### فهرست نمادها

$\varepsilon_{1i}$ ، $\varepsilon_{2i}$	پیش‌کرنش‌ها
$\varepsilon_{1f}$ ، $\varepsilon_{2f}$	میزان‌های نهایی کرنش
$\sigma_1$ ، $\sigma_2$	تنش‌های اصلی
$\bar{\sigma}$	تنش معادل
$\sigma_{Max}$	تنش بیشینه
$\sigma_h$	تنش هیدروستاتیک
$\rho$	نسبت کرنش
$\alpha$	نسبت تنش
$C_1$ ، $C_2$ ، $C_3$	ثابت‌های مربوط به نوع ماده
K	ضریب استحکام ماده
M	توان تابع تسلیم هیل
R	ضریب ناهمسان‌گردی
$\varepsilon_1$ ، $\varepsilon_2$	کرنش‌های اصلی
$\bar{\varepsilon}$	کرنش معادل
$\varepsilon_f$	کرنش معادل شکست
$\varepsilon_w$ ، $\varepsilon_t$ ، $\varepsilon_l$	کرنش‌های عرضی، طولی و در جهت ضخامت

### نتیجه گیری

در این تحقیق، نمودار حد شکل دهی برای ورقی از جنس آلیاژ آلومینیم ۳۱۰۵ برداش تجربی و با انجام آزمون کشش خارج از صفحه‌ی ناکازیما به دست آمد. نمودار حد تنش شکل دهی نیز به کمک مقادیر کرنش و با استفاده از رابطه‌های استافتون محاسبه شد. افزون بر این، با ارائه‌ی یک الگوریتم، نمودارهای حد شکل دهی و حد تنش شکل دهی با اعمال معیارهای شکست نرم کلیفت، کاکرافت و برزو و با استفاده از نرمافزار ABAQUS، به دست آمدند. نمودارهای حد شکل دهی و حد تنش شکل دهی که با استفاده از معیارهای شکست نرم پیش‌بینی شدند، اندکی با نتایج تجربی به دست آمده اختلاف داشتند. این اختلاف به وجود خطاهایی در روش شبیه‌سازی و نیز، خطاهایی ناشی از کاربرد رابطه‌های نظری مربوط به معیارهای شکست نرم، به دلیل ساده‌سازی‌های انجام شده در آن‌ها، نسبت داده شد. با وجود این اختلاف‌ها، دیده شد که معیارهای شکست نرم را می‌توان با تقریب نسبتاً خوبی برای پیش‌بینی نمودارهای FLD و FLSD به کار برد.

## مراجع

1. Ozturk, F., and Lee, D., "Experimental and numerical analysis of out-of-plane formability test", *J. Mat. Proc. Tech.*, 170, pp. 247–253, (2005).
2. Keeler, S. P., and Backhofen, W.A., "Plastic instability and fracture in sheet stretched over rigid punches", *ASM Transactions Quarterly*, 56, pp. 25-48, (1964).
3. Goodwin, G.M., "Application of strain analysis to sheet metal forming in the press shop", *SAE paper*, No. 680093, (1968).
4. Hecker, S. S., "Simple technique for determining forming limit curves", *Sheet Met. Ind.*, 52, pp. 671-676, (1975).
5. Kleemola, H. J., and Pelkkikangas, M. T., "Effect of pre-deformation and strain path on the forming limits of steel copper and brass", *Sheet Met. Ind.*, 63, pp. 591-599, (1977).
6. Arrieux, R., Bedrin, C., and Boivin, M., "Determination of an intrinsic forming limit stress diagram for isotropic metal sheets", In: *Proceedings of the 12th Biennial Congress of the IDDRG*, pp. 61–71, (1982).
7. Stoughton, T.B., "A general forming limit criterion for sheet metal forming", *Int. J. Mech. Sci.*, 42, pp. 1–27, (2000).
8. Takuda, H., Mori, K., and Hatta, N., "The application of some criteria for ductile fracture to the prediction of the forming limit of sheet metals", *J. Mat. Proc. Tech.*, 95, pp. 116-121, (1999).
9. Jain, M., Allin, J., and Lloyd, D. J., "Fracture limit prediction using ductile fracture criteria for forming an automotive aluminum sheet", *Int. J. Mech. Sci.*, 41, pp. 1273-1288, (1999).
10. Takuda, H., Mori, K., Takakura, N., and Yamaguchi, N., "Finite element analysis of limit strains in biaxial stretching of sheet metals allowing for ductile fracture", *Int. J. Mech. Sci.*, 42, pp. 785-798, (2000).
11. Han, H. N, and Kim, K. H, "A ductile fracture criterion in sheet metal forming process", *J. Mat. Proc. Tech.*, 142, pp. 231–238, (2003).
12. Cockcroft, M.G. and Latham, D.J., "Ductility and the Workability of Metals", *J.Inst. Met.*, 96, pp.33-39, (1968).
13. Brozzo, P., Deluca, B., and Rendina, R., "A New Method for the Prediction of Formability in Metal Sheets", In: *Proceedings of the 12th Biennial Congress of the IDDRG*, on Sheet Metal Forming and Formability, (1972).
14. Clift, S.E., Hartley, P., Sturgess, C.E.N., and Rowe. G.W., "Fracture Prediction in Plastic Deformation Processes", *Int. J. Mech. Sci.*, 32, pp. 1-17, (1990).

15. Assempour, A., Hashemi , R., Abrinia , K., Ganjani , M., and Masoumi , E., "A methodology for prediction of forming limit stress diagrams considering the strain path effect", *J.Comp. Mat. Sci.*, 45, pp. 195-204, (2009).
16. Nandedkar, V. M., Narasimhan, K., "Measurement of strain history during the stretching of forming-grade steel sheets", *J. Mat. Proc. Tech.*, 89-90, pp. 24–29, (1999).
17. Dariani, B.M., Azodi, H.D., "Finding the optimum Hill index in the determination of the forming limit diagram", *Proc. Instn Mech. Engrs, Part C: J. Mech. Eng. Sci.*, 217, 1677–1683, (2003).
18. Moshksar, M.M., Mansorzadeh, S., "Determination of the forming limit diagram for Al 3105 sheet", *J. Mat. Proc. Tech.*, 141, 138-142, (2003).